

高三半期考地理试卷

本试卷满分 100 分,考试用时 75 分钟。

注意事项:

1. 答题前,考生务必将自己的姓名、考生号、考场号、座位号填写在答题卡上。
2. 回答选择题时,选出每小题答案后,用铅笔把答题卡上对应题目的答案标号涂黑。如需改动,用橡皮擦干净后,再选涂其他答案标号。回答非选择题时,将答案写在答题卡上。写在本试卷上无效。
3. 考试结束后,将本试卷和答题卡一并交回。
4. 本试卷主要考试内容:区域地理、必修 1 第一章至第二章、选择性必修 1 第一章和第三章。

一、选择题:本题共 16 小题,每小题 3 分,共 48 分。在每小题给出的四个选项中,只有一项是符合题目要求的。

2024 年 8 月 14 日(农历七月十一),迎来了年度最值得观测的行星合相(从地球观察到两个或更多行星似乎彼此非常接近的奇特天象),火星和木星两颗行星彼此相距 $0^{\circ}18'$ 以内,看起来几乎像一颗星。据此完成 1—2 题。

1. 火星和木星出现合相现象的原因是二者公转过程中

- ①轨道近圆 ②轨道面共面 ③均具有周期性 ④速度和方向相同

A. ①②

B. ②③

C. ①④

D. ③④

2. 此次火星和木星合相时的月相为



A



B



C



D

巢湖位于安徽省中部,是我国五大淡水湖之一,其周边土地利用方式受人类活动影响大。

表 1 为 2000—2020 年巢湖流域各土地利用类型数据表。据此完成 3—4 题。

表 1

土地利用类型	2000 年	2005 年	2010 年	2015 年	2020 年
建筑用地	390.64	510.10	708.34	894.00	1 016.77
林草地	2 164.52	2 187.19	2 196.13	2 201.16	2 198.44
水域	1 167.82	1 200.22	1 214.20	1 239.52	1 283.40
耕地	10 323.86	10 149.32	9 928.16	9 712.15	9 548.22

3. 近 20 年来,巢湖流域土地利用方式的变化反映出

- A. 农业收入占比增加
- B. 国民经济快速发展
- C. 城市热岛效应大为改善
- D. 城镇化进程缓慢

4. 推测近几十年巢湖流域水域面积有所增加,主要得益于

- A. 水利工程的修建
- B. 环境保护的推行
- C. 产业布局的调整
- D. 建筑用地的拓展

2019 年 8 月,某中国小伙与俄罗斯女士环环从中国武汉出发,在满洲里口岸出境进入俄罗斯,穿越远东 M56 道路,途经雅库茨克,抵达金城马加丹,然后通过海运把车辆运送到堪察加半岛、杰日尼奥夫角(世界东极)、美洲大陆,从加拿大西海岸的温哥华横向穿越北美洲,抵达美国的底特律。图 1 示意该中国小伙和环环旅行途经的节点连线。据此完成 5—7 题。

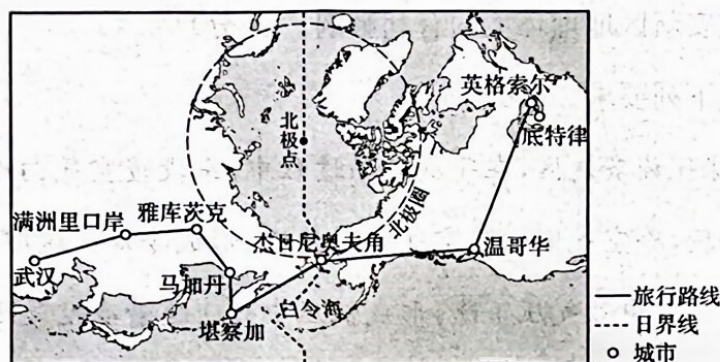


图 1

5. 下列旅行路线为西南向东北行进的是

- A. 满洲里口岸→雅库茨克
- B. 雅库茨克→马加丹
- C. 温哥华→底特律
- D. 杰日尼奥夫角→温哥华

6. 该旅行活动出发时,雅库茨克、堪察加两地相比较

- A. 雅库茨克日出更早
- B. 堪察加日落于西南
- C. 雅库茨克白昼更长
- D. 堪察加观察到的北极星更高

7. 白令海峡最窄处为 35 km,169.5° W 经线从海峡中部通过,海峡东西两侧的陆地相比较

- A. 东西两侧相差 24 小时
- B. 西侧地方时较晚
- C. 东侧的区时较早
- D. 东西两侧相差 1 小时

意大利米兰(45° N,9° E)的“垂直森林”由两座摩天“树塔”组成(如图 2),北侧高塔为 112 m,南侧低塔为 80 m,共种有 800 余棵乔木、15 000 余株多年生植物和地被植物,以及 5 000 余株灌木丛。(参考数据:tan21°≈0.38)据此完成 8—10 题。



图2

8. 北塔一年中的采光条件都极佳,则两塔楼间距可能为

- A. 80 m B. 100 m C. 150 m D. 210 m

9. 推测“垂直森林”建筑外立面上植被生长最好的一侧为

- A. 东侧 B. 南侧
C. 西侧 D. 北侧

10. 相比周边混凝土建筑,“垂直森林”能够

- A. 降低能耗 B. 增加使用面积
C. 增加降水 D. 增加光照

萨尔多巴是古代中亚沙漠商道上的半地下储水设施,内部水温较低,即使在夏季,温度也始终保持在 10°C 左右。萨尔多巴的拱顶和侧面均设有孔洞,其独特之处在于可以利用这些孔洞从空气中取水,通过空气循环,外界热空气进入这些孔洞后,其中的水汽冷却凝结,并顺着石壁流到底部水池。图3示意萨尔多巴(已废弃)景观,图4示意萨尔多巴结构。据此完成11—13题。



图3

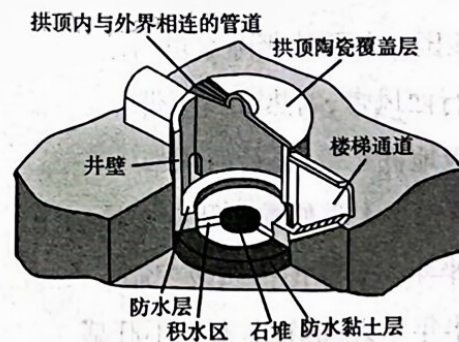


图4

11. 中亚沙漠缺水的根源是

- A. 远离海洋,水汽稀少 B. 受高压控制,气流下沉
C. 地势低洼,无地形雨 D. 全年气温高,蒸发量大

12. 萨尔多巴水池建在地下的优势不包括

- A. 减少蒸发损耗
B. 便于汇集水流
C. 可连通地下水
D. 促进水体交换

13. 夏季的白天,萨尔多巴内部空气循环时,空气流动的方向是

- ①从侧面孔洞水平流入 ②从侧面孔洞水平流出 ③从拱顶孔洞上升流出 ④从拱顶孔洞下沉流入

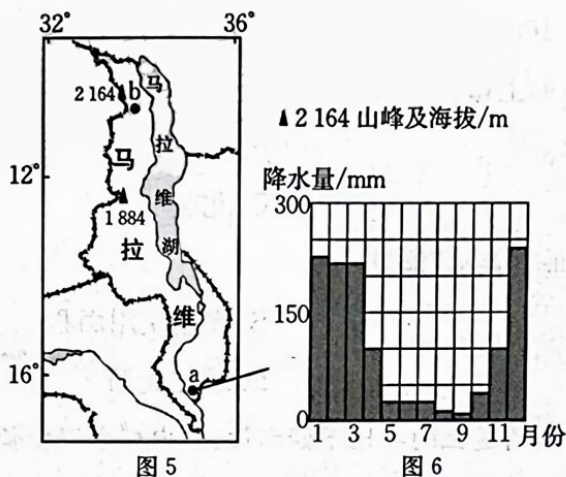
A. ①③

B. ①④

C. ②③

D. ②④

马拉维湖位于非洲东南部,是非洲第三大湖泊,总面积约 3.08 万平方千米。该湖及周围地区多雾。图 5 示意马拉维湖地理位置,图 6 为该国 a 地降水资料图。据此完成 14—16 题。



14. 马拉维湖地区

- ①全年气温较高 ②全年气温较低 ③降水季节变化小 ④降水季节变化大

A. ①③

B. ②④

C. ②③

D. ①④

15. 影响该国 a、b 两地年降水量与雨季长短差异的主要因素是

A. 盛行西风带、副热带高压带

B. 赤道低压带、信风带

C. 副极地低压带、盛行西风带

D. 副热带高压带、信风带

16. 推测该国多大雾的季节及依据是

A. 冬半年 受东南信风带控制

B. 冬半年 天气晴朗,蒸发不旺盛

C. 夏半年 受赤道低气压带控制

D. 夏半年 水汽沿中西部山地爬升

二、非选择题:本大题共 3 小题,共 52 分。

17. 阅读图文材料,完成下列要求。(16 分)

湖陆风是指沿湖地区在夜间风从陆地吹向湖区,昼间风从湖面吹向陆地而形成的一种地方性的天气现象。白洋淀是保定市与沧州市交界处的 143 个相互联系的大小淀泊的总称,是河北省最大的湖泊。随着雄安新区的建设,白洋淀的湖风增强,但圈头乡的湖陆风现象不显著。图 7 为白洋淀区域简图。



图 7

- (1) 简述圈头乡湖陆风现象不显著的原因。(4 分)
- (2) 说明雄安新区的建设导致白洋淀湖风增强的原因。(6 分)
- (3) 说明湖陆风对雄安新区地理环境的有利影响。(6 分)

18. 阅读图文材料,完成下列要求。(16 分)

赫塔岛位于全球气旋多发区,在气旋波动过程中,东段暖空气向冷空气方向推进,形成暖锋;气旋波动的西段,冷空气则向暖空气方向推进,形成冷锋。这些锋面围绕着波动中心产生了气旋性环流,环流中心气压下降,形成低压中心。随着冷空气进一步向南推进,冷锋附近出现阵雨或阵雪,暖锋区域也出现降水,降水区域扩大。从地面冷锋追上暖锋形成锢囚锋开始,气旋发展至最盛时期。索厄羊是 2000 年前人工成功引进赫塔岛的一种小体型绵羊。图 8 为赫塔岛简图及气旋发展的不同阶段。

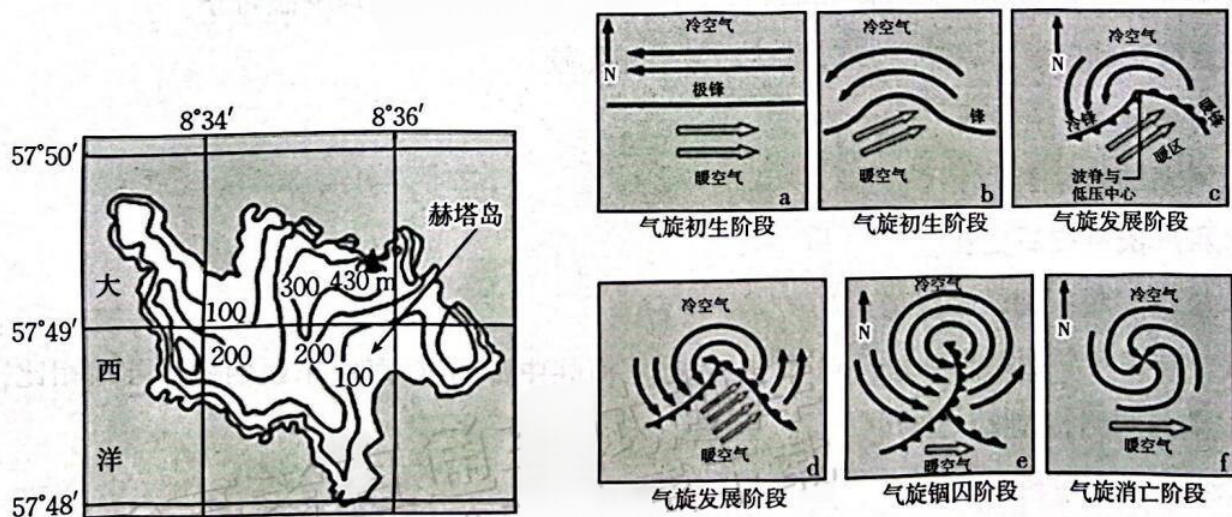


图 8

- (1) 据图说明赫塔岛气旋锢囚的形成过程。(8 分)
- (2) 指出气旋锢囚的天气特点。(4 分)
- (3) 分析赫塔岛成功引入索厄羊的气候条件。(4 分)

19. 阅读图文材料,完成下列要求。(20 分)

新疆塔城地区沙湾县安集海镇位于天山北麓中段、准噶尔盆地南缘,素有“中国辣椒之乡”的美誉,出产的辣椒品质上乘。安集海镇辣椒种植面积约 4 万亩($1 \text{ 亩} \approx 666.67 \text{ m}^2$),已成为全疆辣椒种类最全、品质最优的种植基地和交易集散地。该地出产的辣椒畅销陕西、湖南、云南、贵州、四川等辣椒加工集散大省,并通过这些市场走向全国及韩国、日本、东南亚等地。图 9 为沙湾县及天山北麓区域图。

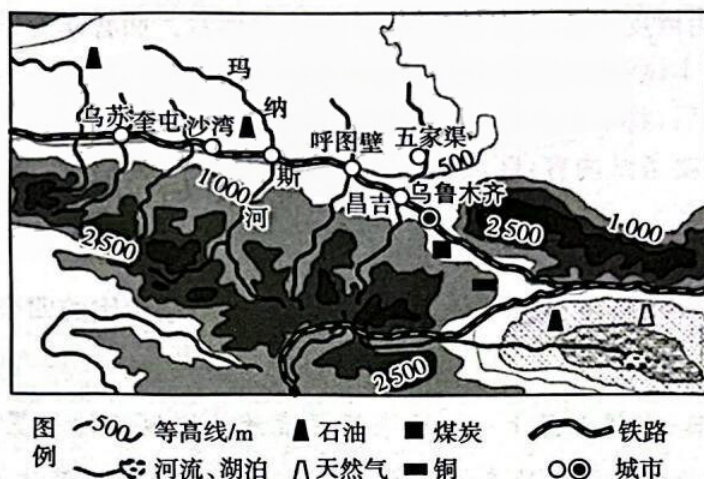


图 9

- (1) 分析新疆沙湾县安集海镇辣椒品质上乘的有利自然条件。(6 分)
- (2) 说明安集海镇辣椒能够走向全国及韩国、日本、东南亚等地的原因。(8 分)
- (3) 简述为推动辣椒产业规模化、产业化发展,安集海镇可采取的措施。(6 分)